

## OPTIMALNO UPRAVLJANJE KURSA BRODA

Ljubiša Draganić, Vladimir Zeljković, LOLA Institut, Beograd, Kneza Višeslava 70a

*Sudžaj - U radu se najpre daje matematički model kretanja broda u horizontalnoj ravni i vrši linearizacija tog modela. Daje se model u prostoru stanja sa i bez poremetaja. Zatim se vrši sinteza optimalnog regulatora kursa koji minimizira integral odstupanja od zadatog kursa. Na kraju izlažu se rezultati simulacije za jedan konkretni brod specijalne namene za linearne i nelinearne model kada se uzme u obzir delovanje vетra sa i bez optimalnog regulatora. Daje se odziv broda po pravcu/kursu i pozicija broda sa i bez optimalnog regulatora, takođe.*

## 1. UVOD

Dinamika vodenja broda od interesa je kada se razmatra manevrabilnost i upravljivost broda i ono je neophodno kada se projektuju autopiloti, sistemi vodenja i navigacije broda. Dinamika broda određena je korišćenjem Newtonovih zakona kretanja. Glavna potreskoča je u određivanju hidrodinamičkih sile i momenata koji deluju na korito broda. U opštem slučaju sile i moment koji deluju na brod složene su funkcije kretanja, tj. brzine, ugaona brzine i kretanja kormila, kao i od rasporeda tereta i pogonske sile broda [1], [2], [3].

Ako se brod razmatra kao kruto telo sa šest stepeni slobode onda ono ima tri stepena slobode koji odgovaraju translacijama u tri pravca i rotacijama oko tri ose. Jednačine kretanja konvencionalno su pisane u odnosu na koordinatni sistem vezan za brod.

## 2. MATEMATIČKI MODEL BRODA

Za određivanje optimalnog regulatora, korišćen je u ovom radu, linearizovani matematički model kretanja broda [5]

$$(m - Y_{Hv}) \cdot \dot{v} - Y_{Hv} \cdot v - Y_{Hr} \cdot \dot{r} + (m \cdot u_0 - Y_{Hr}) \cdot r = Y_{H\delta} \cdot \delta$$

$$(I_z - N_{Hr}) \cdot \ddot{r} - N_{Hr} \cdot r - N_{Hv} \cdot \dot{v} - N_{Hv} \cdot v = N_{H\delta} \cdot \delta \quad (1)$$

gdje je:  $v$  - bočna brzina translacije broda,

$r$  - ugaona brzina skretanja,

$m$ ,  $I_z$  - masa i momenat inercije oko z ose,

$u_0$  - brzina broda,

$Y_{Hv}$ ,  $N_{Hv}$  - linearizovani hidrodinamički derivativi po promenljivoj ( $\bullet$ ) bočne sile i momenta oko z ose,

$\delta$  - otkon kormila.

Rearanžiranjem se (1) može napisati kao standardna matrična jednačina u prostoru stanja [1]

$$\frac{d}{dt} \begin{bmatrix} v \\ r \\ \psi \end{bmatrix} = \begin{bmatrix} a_{11} & a_{12} & 0 \\ a_{21} & a_{22} & 0 \\ 0 & 1 & 0 \end{bmatrix} \begin{bmatrix} v \\ r \\ \psi \end{bmatrix} + \begin{bmatrix} h_1 \\ h_2 \\ 0 \end{bmatrix} \delta \quad (2)$$

gde je  $r = \frac{dy}{dt}$ , a  $\psi$  - je ugao kusa broda.

Za detaljniju analizu neophodno je nekada u model uvrstiti i dinamiku davača i pokretača za otklanjanje kormila. Detaljniji o linearizaciji matematičkog modela i njegovom predstavljanju može se naći u [2], [3], [4] i drugoj literaturi.

Na osnovu (2) određuje se funkcija prenosa

$$G_t(s) = \frac{\psi(s)}{\delta(s)} = \frac{b_1 s + b_2}{s(s + a_1 s + a_2)} \quad (3)$$

gde je:

$$a_1 = -a_{11} - a_{22},$$

$$a_2 = a_{11}a_{22} - a_{12}a_{21},$$

$$b_1 = b_{21},$$

$$b_2 = a_{21}b_{11} - a_{11}b_{21}.$$

Kada se u model broda uzmu u obzir sile i moment koji potiču od udara veta, tada se sistema jednačina (1) proširuje sa desne strane sa dodatnom silom  $Y_u(\psi_w, \psi)$  i dodatnim momentom  $N_u(\psi_w, \psi)$  koji potiču od veta. Pri tome je  $\psi_w$  ugao između kursa broda i vektora relativne brzine veta.

Linearizacijom  $Y_u(\psi_w, \psi)$  i  $N_u(\psi_w, \psi)$  i uključenjem u sistema (1) dobija se sledeći model kretanja broda u prostoru stanja, sa prisustvom veta

$$\frac{d}{dt} \begin{bmatrix} v \\ r \\ \psi \end{bmatrix} = \begin{bmatrix} a_{11} & a_{12} & a_{13} \\ a_{21} & a_{22} & a_{23} \\ 0 & 1 & 0 \end{bmatrix} \begin{bmatrix} v \\ r \\ \psi \end{bmatrix} + \begin{bmatrix} h_1 \\ h_2 \\ 0 \end{bmatrix} \delta + \begin{bmatrix} c_1 \\ c_2 \\ 0 \end{bmatrix} \quad (4)$$

Parametri  $a_{13}$  i  $a_{23}$  zavise od brzine i pravca veta (statičke komponente), a  $c_1$  i  $c_2$  su stoхastičke komponente koje imaju karakter belog šuma i potiču od sile koje su posledica udara veta.

Na osnovu (4) može se odrediti sledeća relacija

$$\psi(s) = \frac{(b_{23} + b_3)\delta(s)}{s^3 + a_1 s^2 + a_2 s + a_3} + \frac{a_{21}E_1(s)}{s^3 + a_1 s^2 + a_2 s + a_3} + \frac{(s - a_{11})E_2(s)}{s^3 + a_1 s^2 + a_2 s + a_3} \quad (5)$$

gdje su  $E_1(s)$  i  $E_2(s)$  Laplasove transformacije  $c_1(t)$  i  $c_2(t)$ , respectivno.

Parametri u (5) dati su izrazima:

$$a_1 = -a_{11} - a_{22},$$

$$a_2 = a_{11}a_{22} - a_{12}a_{21} - a_{23},$$

$$a_3 = a_{11}a_{23} - a_{13}a_{21}$$

$$b_2 = b_{21},$$

$$b_3 = a_{21}b_{11} - a_{11}b_{21}.$$

Bočna komponenta turbulentacije može biti opisana spektralnom gustom [1]

$$S_{Lw}(\omega) = \frac{\sigma_w^2 L}{2\pi} \frac{1 + 3(\omega L)^2}{1 + (\omega L)^2} \quad (6)$$

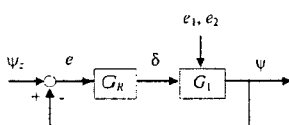
a longitudinalna komponenta sa

$$S_{Afw}(\omega) = \frac{\sigma_w^2 L}{2\pi} \frac{1}{1 + (\omega L)^2} \quad (7)$$

gde je  $\sigma_w$  intenzitet turbulentacije,  $L$  je faktor turbulentacije ( $L=0.9h$  za visine  $h < 300\text{m}$ )

### 3. SINTEZA OPTIMALNOG UPRAVLJANJA KURSA BRODA

Strukturalna šema SAU kursa broda data je na sl. 1.



Sl. 3 SAU kursa broda

Sinteza algoritma upravljanja biće izvršena tako da se minimizira kriterijum optimalnosti

$$J = \int_0^\infty e(t) dt \quad (8)$$

izborom odgovarajuće strukture i parametara regulatora  $G_R(s)$ .

Kako funkcija prenosa broda  $G_I(s)$ , relacija (3), ima inherentno integralno dejstvo u samom objektu, to ćemo prepostaviti da je funkcija prenosa regulatora PD tipa, tj.

$$G_R(s) = K_R(1 + T_R s) \quad (9)$$

gdje su  $K_R$  i  $T_R$  parametri PD regulatora.

Na osnovu sl. 1. je

$$E(s) = \psi_z \left( \frac{1 - G_R G_I}{1 + G_R G_I} \right) = \psi_z \frac{1}{1 + G_R G_I} \quad (10)$$

Uvrštavajući (3) u (9) u (10) dobija se

$$E(s) = \frac{(1 + a_1 s + a_2) \psi_z(s)}{s^3 + s^2(a_1 + K_p T_I b_1) + s(K_p b_1 + K_p T_I b_2 + a_2) + K_p b_2} \quad (11)$$

Primenom teoreme o konačnoj vrednosti, kriterijum (8) se može sračunati kao

$$J = \int_0^\infty e(t) dt = \lim_{t \rightarrow \infty} \int_0^t e(\tau) d\tau = \lim_{s \rightarrow 0} s \frac{E(s)}{s} = E(0) \quad (12)$$

Koristeći relaciju (11) dobija se

$$J = \frac{a_2}{K_p b_2}, \quad (\psi_z = l(t) \equiv \frac{1}{s}) \quad (13)$$

Polazeći od Vijetovih pravila za polinome, na osnovu karakteristične jednačine sistema (11) može se napisati

$$\sigma_1 \sigma_2 \sigma_3 = -K_p b_2 \quad (14)$$

$$\sigma_1 \sigma_2 + \sigma_2 \sigma_3 + \sigma_3 \sigma_1 = K_p b_1 + K_p T_I b_2 + a_2 \quad (15)$$

$$\sigma_1 + \sigma_2 + \sigma_3 = -(a_1 + K_p T_I b_1) \quad (16)$$

gde su  $\sigma_1$ ,  $\sigma_2$  i  $\sigma_3$  korenji karakteristične jednačine sistema (11).

Na osnovu (14) izraz (13) se može napisati kao

$$J = \frac{-a_2}{\sigma_1 \sigma_2 \sigma_3} \quad (17)$$

Da bi minimizirali (17) uvedimo "novu" funkciju u obliku

$$J = \frac{-a_2}{\sigma_1 \sigma_2 \sigma_3} + \lambda(\sigma_1 + \sigma_2 + \sigma_3 - a_1 - K_p T_I b_1) \quad (18)$$

gde je  $\lambda$  - Lagranžov množilnik, a relacija (16) iskorištena je kao ograničenje.

Da bi (13) imalo ekstremum mora biti

$$\frac{\partial J}{\partial \sigma_1} = \frac{\partial J}{\partial \sigma_2} = \frac{\partial J}{\partial \sigma_3} = \frac{\partial J}{\partial \lambda} = 0 \quad (19)$$

ili

$$\frac{\partial J}{\partial \sigma_1} = \frac{a_2}{\sigma_1^2 \sigma_2 \sigma_3} + \lambda = 0 \quad (20)$$

$$\frac{\partial J}{\partial \sigma_1} = \frac{a_2}{\sigma_1 \sigma_2^2 \sigma_3} + \lambda = 0 \quad (21)$$

$$\frac{\partial J}{\partial \sigma_1} = \frac{a_2}{\sigma_1 \sigma_2 \sigma_3^2} + \lambda = 0 \quad (22)$$

$$\frac{\partial J}{\partial \lambda} = 0 \quad \text{degeneriše se u (16).}$$

Na osnovu (20) - (22) dobija se

$$\sigma_1 = \sigma_2 = \sigma_3 = \sigma \quad (23)$$

Ekstremum (17) se dobija kada se korenji karakteristične jednačine iyraya (11) jednaki međusobno.

Uvrštavajući u (14)-(16) jednostavno  $\sigma_1 = \sigma_2 = \sigma_3 = \sigma$  i elimišući  $K_p$  i  $T_I$  iz tih jednačina dobija se karakteristična jednačina (11) koja ima rešenja za  $\sigma$  vrednost

$$\sigma = C^{1/3} - \frac{b_2}{b_1} \quad (24)$$

$$\text{gde je } C = \frac{b_2^2}{b_1^2} - a_1 \frac{b_2^2}{b_1^2} + a_2 \frac{b_2}{b_1}.$$

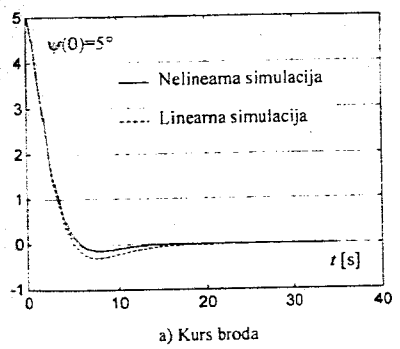
Sada su, na osnovu (24) i sistema (14)-(16), vrednosti optimalnih parametara PD regulatora

$$K_{P,\text{opt}} = -\frac{1}{b_2} \left( C^{1/3} - \frac{b_2}{b_1} \right)^3 \quad (25)$$

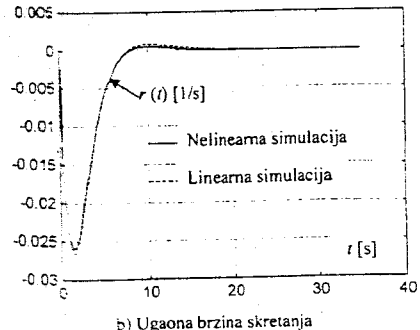
$$T_{I,\text{opt}} = \frac{3(C^{1/3} - b_2/b_1) + a_1}{-\frac{b_2}{b_1} \left( C^{1/3} - \frac{b_2}{b_1} \right)^3} \quad (26)$$

#### 4. REZULTATI SIMULACIJE

Razmatra se rečni brod sa parametrima  $a_1=0.5665$ ,  $a_2=-0.0061$ ,  $b_1=-0.1091$ ,  $b_2=-0.0275$ . Određeni su parametri optimalnog regulatora  $K_{P,\text{opt}}=-4.9517$  i  $T_{I,\text{opt}}=1.799$ . Uradena je simulacija linearnog modela za početne uslove  $\psi(0)=5^\circ$ , sl.2.



a) Kurs broda



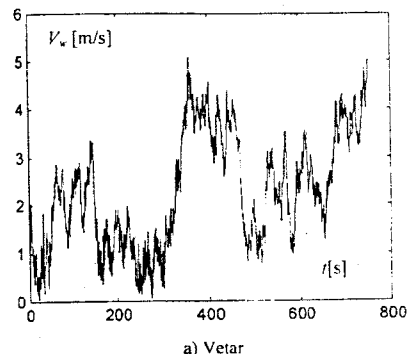
b) Ugao brzina skretanja

Sl. 2. Linearna i nelinearna simulacija kretanja broda pri  $\psi(0)=5^\circ$

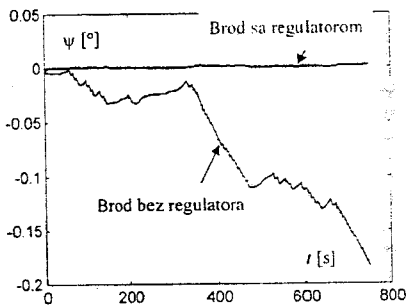
Prelazni proces pokazuje svođenje stacionarne greške na nulu, pri čemu se pojavljuje preskok u odzivu. Radi upređenja, uradena je simulacija nelinearnog modela, prema relacijama za nelinearni model datim u [5]. Pokazuje se

relativno velika bliskost odziva linearnog i nelinearnog sistema.

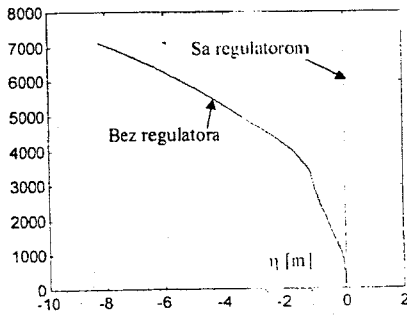
U cilju razmatranja uticaja veta uradena je nelinearna simulacija kretanja broda bez regulatora i sa optimalnim regulatorom, sl. 3. Vetur je zadavan, pod uglom  $\psi_w=45^\circ$ , u obliku srednjeg intenziteta  $V_{w,\text{m}}=1 \text{ m/s}$  i turbulentacije sa  $s_w=10 \text{ m/s}$ .



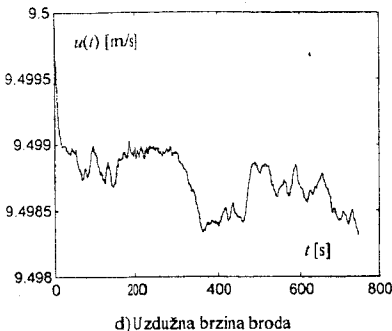
a) Vetar



b) Ugao kursa



c) Putanja broda



d) Uzdružna brzina broda

Sl 3. Nelinearna simulacija udara vетra na kretanje broda sa i bez regulatora.

Pokazuje se da vетar utice na promenu putanje broda (promenu kursa i odstupanje položaja) kada nema regulatora i kada se ne vrši korakcija putanje broda otklonom kormila. Simulacija kretanja broda sa uključenim regulatorom pokazuje veoma malo (zanemarljivo) odstupanje putanje i održavanje kursa broda oko nule. Ne pokazuje se potreba uključenja integralnog člana u optimalni regulator jer se ne oučava statička greška kursa broda.

## 5. ZAKLJUČAK

U radu je pokazan način određivanja optimalnog regulatora broda. Brod je predstavljen linearanim modelom. Određivanje parametara regulatora je rađeno minimizacijom integralnog kriterijuma. Izvedene su relacije za izračunavanje pojačanja i vremenske konstante regulatora. Pokazuje se da optimalni regulator daje ista rešenja karakterističnog polinoma zatvorenog sistema, u slučaju broda su to 3 ista aperiodična pola. Odm iz ovakvog sistema ima preskok koji potiče od nula u funkciji prenosa po gršci.

U cilju ilustracije metoda uradena je analiza rečnog broda. Izračunati su parametri optimalnog regulatora i pokazan odziv na početne uslove. Uporednjem prelaznog procesa linearног i nelinearnog modela se vidi velika bliskost u vremenskom zapisu koordinata stanja, kao i svodenje statičke greške na nulu. Uticaj vетra, kao stacionaran i turbulentacija, je razmatran kroz simulaciju na nelinearnom modelu broda. Pokazuje se da, predhodno određen optimalni regulator dobro kompenzuje uticaj vетra.

## LITERATURA

- [1] K. J. ÅSTRÖM, C. G. KÄLLSTRÖM, "Identification of Ship Steering Dynamics" *Automatica*, Vol. 12, pp. 9-22, 1976.
- [2] V. Zeljković, Lj. Draganović, *Dinamika i automatsko upravljanje broda*, LOLA Institut, 2000.
- [3] Grua autora, *Principles of NAVAL ARCHITECTURE*. 5th reprinting, Editor E. V. Lewis. The Society of Naval Architects and Marine Engineers, New York, 1980.
- [4] V. Zeljković, Lj. Draganović, *Dinamičko modeliranje rečnog broda*, Etran, 2000.
- [5] M. Stojić, S. Vuković, Lj. Draganović, *Process Control Structure and Optimal Tuning of a Digital PID Controller*, FACTA UNIVERSITATIS, Univerzity of Niš, 1999.

**Abstract -** In this paper, the linear mathematical model of ship motion is presented. The model includes wind forces. Then, the optimal regulator is derived to minimise integral criteria. The effect of optimal regulator, in case of initial conditions and wind disturbances, is illustrated to small ship..

## OPTIMAL CONTROL APPLY TO SHIP YAW STEERING

Ljubiša Draganović, Vladimir Zeljković,  
LOLA Institut, Beograd